

## بررسی چگونگی رفتار عنصر مس نسبت به عناصر مولیبدن، سرب و روی در کانسار مس پورفیری پرکام در استان کرمان، با استفاده از روش K-Means

سید سعید قنادپور

دانشجوی کارشناسی ارشد، دانشکده مهندسی معدن و متالورژی، دانشگاه صنعتی امیرکبیر تهران

اردشیر هزارخانی

استاد دانشکده مهندسی معدن و متالورژی، دانشگاه صنعتی امیرکبیر، تهران

تاریخ دریافت: ۹۲/۱۱/۲۳

تاریخ پذیرش: ۹۲/۱۱/۱۵

[ardehez@aut.ac.ir](mailto:ardehez@aut.ac.ir)

### چکیده

یکی از دیدگاه‌های مهم در علم داده‌کاوی برای تحلیل و بررسی روی حجم زیادی از داده‌ها و نمونه‌ها با مشخصه‌های گوناگون، دیدگاه خوشه‌بندی می‌باشد که خود شامل روش‌ها و تکنیک‌های مهمی همچون روش سلسه مراتبی، روش میانگین K، روش‌های بر مبنای چگالی، روش کوهون، و غیره در ادبیات موضوع است و تاکنون توسط پژوهشگران مختلف به کار گرفته شده است. یکی از معروف‌ترین الگوریتم‌های خوشه‌بندی، الگوریتم K-Means میانگین (K-Means) است. این الگوریتم تلاش می‌کند که بر اساس یک معیار فاصله، داده‌ها را به K خوشه تقسیم کند. در مقاله پیش رو با بکارگیری روش K-Means برای کلاس بندی گمانه‌های حفاری شده در کانسار پرکام، تحت چهار مقدار عیار عناصر مس، مولیبدن، سرب و روی، مقدار بهینه K در هر مورد محاسبه شده و سپس به کلاس بندی داده‌های مذکور، و تجزیه و تحلیل رفتار آنها نسبت به یکدیگر پرداخته شده است. در این پژوهش به منظور مشخص نمودن مقدار مناسب K جهت تعیین تعداد کلاس‌ها، از معیار مناسبی استفاده گردیده که با توجه به آن تعداد کلاس‌ها از K=۱۰ تغییر داده می‌شوند و سپس به کمک معیار مذکور گروه‌بندی‌های حاصل شده مورد تحلیل قرار می‌گیرند تا K بهینه انتخاب شود. به استناد نتایج حاصل شده، خوشه‌بندی با تعداد K=۳ در مورد مس و مولیبدن، K=۴ در مورد مس و سرب و همچنین خوشه‌بندی با مقدار K=۳ در مورد مس و روی، نسبت به تعداد کلاس‌های دیگر در هر مورد، مناسب‌تر بوده و با توجه به کلاس بندی صورت گرفته با موارد فوق الذکر، مشاهده گردیده است که با افزایش عیار عنصر مس، عیار عنصر مولیبدن با شدت بیشتری افزایش می‌یابد، عیار عنصر سرب تا ۰/۱۶ کاهش شدید و سپس افزایش یافته و عیار عنصر روی نیز مانند سرب ابتدا کاهش و سپس افزایش می‌یابد. بنابراین می‌توان با استفاده از روش پیشنهادی فوق به بررسی میزان تغییرات عنصر مس با دیگر عناصر موجود در آنالیزهای انجام شده پرداخت که خود می‌تواند دیدگاه بسیار مناسبی را پیش روی تصمیم‌گیران این صنعت ایجاد نماید. بنابر این علاوه بر کاربرد وسیع در اکتشاف معدن مس، می‌تواند امکان پیش‌بینی رفتار کانه‌های فلزی در حین فرآیندهای فرآوری مانند تعیین درجه آزادی و پیش‌بینی بهترین سایز را نیز فراهم می‌نماید.

**کلمات کلیدی:** پرکام، K-Means، مس، مولیبدن، سرب، روی.

### مقدمه

افزایش یافته‌اند (عرفانی، ۱۳۷۴؛ شهاب‌پور، ۱۳۸۰). لذا برای اینکه بتوانیم برآورد دقیق‌تری از پیدایش و وسعت هاله‌های زمین شیمیایی کانسارهای مس پورفیری به کمک عناصر مذکور داشته باشیم، یافتن ارتباط و چگونگی رفتار این عناصر نسبت به یکدیگر می‌بایست مورد بررسی قرار گیرند. بدین منظور در تحقیق حاضر برای تعیین رفتار عناصر مذکور، روش‌های موجود در علم داده کاوی مورد استفاده قرار می‌گیرند.

یکی از دیدگاه‌های مهم در علم داده کاوی برای تحلیل و بررسی روی حجم زیادی از داده‌ها و نمونه‌ها با مشخصه‌های گوناگون، دیدگاه خوشه‌بندی می‌باشد که خود شامل روش‌های و تکنیک‌های مهمی (مانند Anderberg، 1973 و Devijver and Kittler، 1982) در ادبیات موضوع است و تاکنون توسط پژوهشگران مختلف به کار گرفته شده است. شایان ذکر است که در این دیدگاه فرض می‌گردد که مجموعه‌ی M متخلک از m نمونه به صورت  $\{x_1, x_2, \dots, x_m\}$

تعییر می‌گردد که هر نمونه‌ی  $x_i$  در آن به صورت یک برداری در مجموعه‌ی M تعییر می‌گردد و این بردار نشان‌دهنده مشخصه‌های متفاوت برای آن نمونه

با توجه به قرار گرفتن نواحی میدوک و پرکام در کمرنگ آتش‌شانی - نفوذی کرمان (به طول ۵۰۰ کیلومتر و حاوی ۳۵ کانسار پورفیری) و وجود منابع غنی مس در این منطقه (شرکت مهندسین مشاور کان‌ایران، ۱۳۸۸)، ضرورت یافتن اطلاعات دقیقی چون تعیین مشخصات آماری مانند میانگین و واریانس و به خصوص تعیین ارتباط و چگونگی رفتار عناصر مس، مولیبدن، سرب و روی نسبت به یکدیگر در گمانه‌های حفاری شده در این محدوده برای تخمین عیار و تعیین امید بخش بودن منطقه، اهمیت می‌یابد ((مطالعه و تعیین مشخصات آماری در مورد این چهار عنصر محدوده پرکام در مطالعات (قنادپور و هزارخانی، ۱۳۹۱)، (Ghannadpour et al, 2012) (قنادپور و هزارخانی، ۱۳۹۰) صورت گرفته است)، زیرا علاوه بر مس و مولیبدن که دو عنصر اصلی و مهم کانسارهای مس پورفیری به حساب می‌آیند، عناصر سرب و روی نیز عناصر بسیاری مهمی در تعیین وسعت و گسترش هاله‌های زمین شیمیایی اولیه محسوب می‌شوند (حسنی پاک، ۱۳۹۰) و حتی در بعضی از موارد دیده شده است که تا حد کانسار نیز

## K-Means

همانطور که در گذشته نیز بیان گردید، یکی از روش‌های معروفی که در دیدگاه خوشه‌بندی مطرح می‌باشد، الگوریتم K-Means است. این روش با یک مقداری مشخص برای  $K$  (تعداد دسته‌ها) شروع کرده و سعی می‌نماید که مجموعه‌ای از یک نمونه‌های مشخص را در این  $K$  گروه دسته‌بندی نماید به طوری که فرضیات بیان شده در روابط (۴) و (۵) رعایت گرددند (saha and zhang, 2013). همچنین لازم به ذکر است که معیار تخصیص هر نمونه به یک کلاس نیز در این روش حداقل مسافت اقلیدسی هر نمونه از نقطه‌ی میانی (مرکزی یا نماینده) هر کلاس یا دسته می‌باشد. مراحل مهمی که در این الگوریتم طی می‌گردد به طور خلاصه به شرح ذیل می‌باشد (Jain, 2012) و (Yi, 2012):

۱. تشکیل  $K$  کلاس و یا دسته به صورت  $\{C_1, C_2, \dots, C_K\}$  برای خوشه‌بندی  $m$  نمونه از مجموعه  $M$

۲. محاسبه‌ی بردار  $z_j$  بر اساس رابطه‌ی (۴) که نشان‌دهنده‌ی مرکز یا نماینده‌ی هر دسته‌ی  $C_j$  می‌باشد.

$$z_j = \frac{\sum_{x \in C_j} x}{\#C_j} \quad \text{for } j = 1, 2, \dots, K \quad (4)$$

در این رابطه،  $x$  نشان‌دهنده‌ی بردار یک نمونه‌ای است که در  $C_j$  عضو می‌باشد و  $\#C_j$  نشان‌دهنده‌ی تعداد نمونه‌هایی می‌باشد که در کلاس  $C_j$  عضو می‌باشند. لازم به ذکر است که رابطه‌ی (۴) برای محاسبه‌ی مرکز هر دسته در خال حل استفاده‌ی می‌گردد و در شروع الگوریتم معمولاً به صورت تصادفی  $K$  نمونه انتخاب می‌گرددند و به عنوان مرکز هر دسته در نظر گرفته می‌شوند.

۳. محاسبه‌ی تابع هدف ناشی از دسته‌بندی  $\{C_1, C_2, \dots, C_K\}$  بر اساس رابطه‌ی (۵) که به محاسبه‌ی مجموع فواصل نمونه‌ها از مرکز دسته‌ها می‌پردازد.

$$f(C_1, C_2, \dots, C_K) = \sum_{j=1}^K \sum_{x \in C_j} \|x - z_j\|^2 \quad (5)$$

۴. کمینه نمودن تابع هدف رابطه‌ی (۵) و یافتن دسته‌بندی مناسب روی مجموعه‌ی  $M$  با تعداد دسته‌ی  $K$ .

### زمین شناسی کانسار پرکام

محدوده اکتشافی پرکام با مساحتی در حدود ۴ کیلومتر مربع در فاصله حدود ۵۰ کیلومتری شمال شهر بابک با موقعیت جغرافیایی UTM (۳۳۷۱۰۰۰ و ۳۲۲۲۰۰) شمال خاور (۳۳۶۹۰۰۰ و ۳۲۲۲۰۰) جنوب با ختر قرار گرفته است. این محدوده بخشی از ورقه یکصد هزار شهر بابک است و در نقشه ۱:۲۵۰۰۰ انار قرار دارد.

واحدهای سنگی موجود در ورقه شهر بابک، محدوده سیستم پورفیری پرکام که بخش شمال با ختری منطقه‌ی می‌باشد عمدتاً شامل سنگ‌های آتشفسانی ائوسن می‌باشد. علاوه بر این واحد بخش‌های شمال خاوری برگه نیز مربوط به سنگ‌های رسوبی ائوسن است. همچنین بخش‌های مرکزی این نقشه خصوصاً قسمت‌های شمالی را می‌توان قلمرو سنگ‌های آذرآواری نفوذ ندانست. همین طور بخش اعظم ورقه شهر بابک که قسمت جنوبی منطقه‌ی می‌باشد عمدتاً از جنس دشت و رسوبات آبرفتی کوتاننری می‌باشد. موقعیت نهشته پورفیری پرکام در زون‌های سنگ -

می‌باشد (Nelson et al, 2012). فرض می‌شود تصمیم بر آن است که این نمونه‌ها در  $K$  کلاس و یا دسته به صورت  $C_K, C_2, C_1$  تا  $C_1$  دسته‌بندی گرددند. لازم به ذکر است که برای این دسته‌بندی می‌باشد که یکسری فرضیات پایه‌ای رعایت گرددند که این فرضیات به شرح روابط (۱) الی (۳) می‌باشد و در ادامه تحت عنوان شرایط توجیه‌پذیری رعایت می‌گرددند (Jain, 2012) و (Pelleg, 2000) (and Moore, 2000):

$$C_i \neq \emptyset, \quad \text{for } i = 1, \dots, K \quad (1)$$

$$C_i \cap C_j = \emptyset, \quad \text{for } i \neq j \quad (2)$$

$$\bigcup_{i=1}^K C_i = M \quad (3)$$

مطابق با روابط (۱) الی (۳) همانطور که مشاهده می‌گردد، فرض اول بیان گر این مطلب می‌باشد حتماً می‌باشد که هر کدام از  $K$  دسته‌ی مورد نظر دارای عضو باشد و دسته‌ی تهی نباید وجود داشته باشد. همچنین در فرض دوم بیان شده است هر نمونه تنها می‌باشد که در یک دسته قرار گیرد و دسته‌های اشتراک نمونه‌ای نباشند. فرض سوم نیز بیان کننده‌ی این مطلب می‌باشد که تمام نمونه‌ها می‌باشد که در یک دسته قرار گیرند و نمونه‌ی بدون دسته‌ای وجود نداشته باشد. یکی از روش‌های معروف و در عین حال ساده‌ی خوشه‌بندی در داده‌کاوی، روش K-Means می‌باشد که به طور وسیعی توسط پژوهشگران مختلف مورد بررسی قرار گرفته است و در تلاش است که به خوشه‌بندی تعدادی نمونه با تعداد دسته‌ی مشخص (K) بپردازد، به نحوی که مجموع فواصل اقلیدسی هر یک از نمونه‌ها از مرکز دسته‌ای که به آن تخصیص یافته است، کمینه گردد. در مطالعات مختلفی دیده می‌شود که رفتار عناصر به روش‌های گوناگونی نسبت به یکدیگر سنجیده می‌شوند که می‌توان به عنوان مثال از مطالعات (Menard, 1995) (Tarkian, 1999) (Leiluo et al, 2012) (Yang et al, 2012) (Mora et al, 2012)، ارائه برنامه شناسایی الگوهای زمین شیمیایی در مناطق معدنی به کمک K-Means به کلاس‌بندی آنالیزهای موجود از یک برداشت و یا مطالعه پرداخته شده تا بتوان به کمک آن تحلیلی مناسبی از رفتار داده‌ها و آنالیزهای موجود نسبت به یکدیگر داشت. در این مورد می‌توان به تقسیم بندی عوارض زمین شناسی (Yang et al, 2012)، تقسیم بندی تأثیر پوشش گیاهی و بازیابی سلامتی آب در جنگلهای ساحل مدیترانه (Mora et al, 2012)، ارائه برنامه شناسایی الگوهای زمین شیمیایی در مناطق معدنی به کمک K-Means (Meshkani et al, 2011) (Krishna and Narasimha, 1999) (Sfidari et al, 2012) (Wenger et al, 2012) با استفاده از K-Means اشاره نمود. همچنین نیز مشاهده می‌شود که به مطالعه روش K-Means با استفاده از الگوریتم‌های پیشرفته‌ی فرا ابتکاری پرداخته‌اند و جواب‌های بسیار خوبی را نیز تولید نموده‌اند. به عنوان نمونه می‌توان از پژوهش‌های (Murthy, 2003) (Krishna and Narasimha, 1999) نام برد که از جمله مهمترین مطالعات در این حوزه به شمار می‌روند.

## اُوسن تختانی

بطور کلی اُوسن تختانی به ترتیب از قدیم به جدید شامل واحد رسوبات فلیشی، کنگلومرایی، ماسه سنگ قرمز، آهک و آهک و مارن می‌باشد. قدیمی‌ترین واحد سنگی اُوسن رسوبات فلیشی است که بخشی از شمال چهارگوش شهر بابک و کوه مساحیم را شامل می‌شود. روی زمین رسوبات فلیشی از افق‌های بالایی و پایینی تشکیل شده‌اند که بر روی نقشه ۱:۱۰۰۰۰۰۰ این واحدها به خوبی تفکیک نشده‌اند. در بخش‌های جنوبی این رسوبات فلیشی توسط دایک‌ها قطع شده‌اند. البته واحدهای کنگلومرایی اُوسن نیز در درون این رسوبات فلیشی برون زد دارند. همینطور ماسه سنگ‌های قرمز و مارن و آهک‌های اُوسن نیز در بخش‌های خاور منطقه در درون سنگ‌های آتشفشنای اُوسن رخمنون دارند (شرکت پارس اولنگ، ۱۳۸۸).

## اُوسن فوقانی

بطور کلی اُوسن فوقانی شامل آتشفشنای‌های اُوسن (معادل آذرآواری‌ها و آتشفشنای‌های تشکیلات کرج در البرز) می‌باشد که به ترتیب از قدیم به جدید عبارتند از (شرکت مهندسین مشاور کان ایران، ۱۳۸۸):

(الف) سنگ‌های آندزی بازالت به ضخامت چند صد متر (ب) توف‌های قرمز و رسوبات توفی با ۶۰ متر ضخامت (ج) یک افق با سنگ‌های آندزیت تراکیتی و بازالت تراکیتی (د) توف و ماسه سنگ توفی با ضخامت ۷۰ متر که یک متر آهک در پایین و ۱۰ متر ایگنومبریت در بالا برای شناسایی وجود دارد. (ه) سنگ‌های آندزیت تراکیتی و بازالت تراکیتی و گدازه بازالتی و آگلومراها (و) سنگ‌های باافت پورفیری که متشکل از فنوکریستهای پلاژیوکلاز، پیروکسن مونوکلینیک و الیوین با ماتریکس پلاژیوکلاز، پیروکسن، فلدسپار و میکرولیت می‌باشد.

در قسمت‌های شمال و خاور چهارگوش یک صد هزارم شهر بابک واحد بزرگی از آتشفشنای‌های اُوسن مشاهده می‌شود. همین طور در بخش‌های شمال باختری کوه‌های مساحیم آتشفشنای‌های اُوسن از جنس آندزیت – بازالت، بازالت تراکیتی و آندزیت تراکیتی و گدازه آتشفشنای و پورفیری قرار گرفته‌اند (شرکت مهندسین مشاور کان ایران، ۱۳۸۸).

## نُوژن تختانی

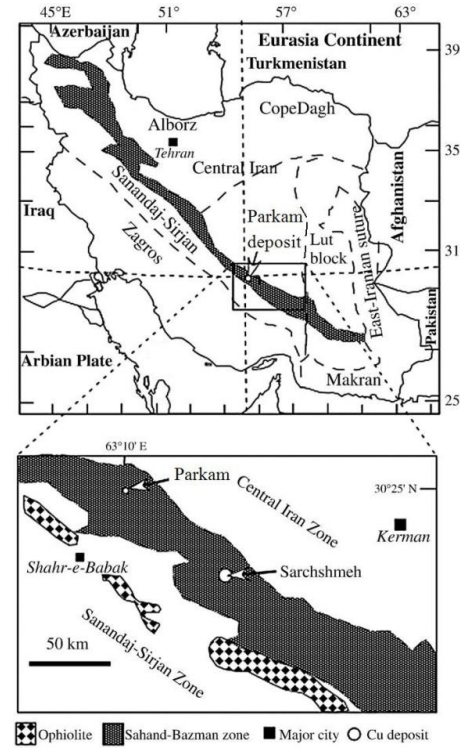
نُوژن تختانی شامل دو بخش لایه‌های قرمز ماسه سنگی و آگلومراهای آندزیتی است. لایه‌های ماسه سنگ در بخش بسیار کوچکی در ناحیه شمال باختری منطقه مشاهده می‌شوند و آگلومراهای آندزیتی که جوان‌تر از آتشفشنای‌های اُوسن می‌باشند نیز در بخشی از منطقه برون زد دارند. این واحدها نیز در ناحیه شمال باختری منطقه در کنار آتشفشنای‌های اُوسن بخش کوچکی را به خود اختصاص داده‌اند (شرکت مهندسین مشاور کان ایران، ۱۳۸۸).

## نُوژن میانی

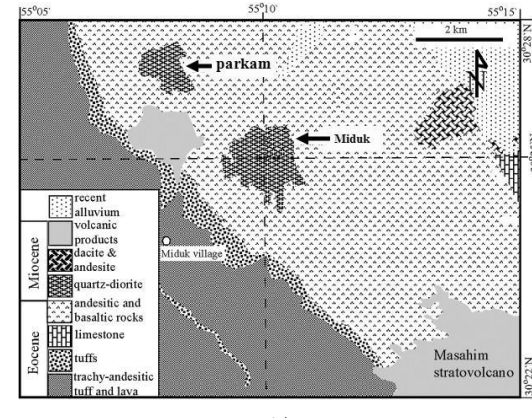
نُوژن میانی شامل آتشفشنای‌های نُوژن می‌باشد. کوه مساحیم که در قسمت میانی منطقه با وسعت زیاد قرار گرفته است تماماً متشکل از آتشفشنای‌های نُوژن می‌باشد و تعدادی مخروط‌های پیروکلاستیک در بخش‌های شمالی آن مشاهده می‌شوند (شرکت پارس اولنگ، ۱۳۸۸).

(الف) سکانس آتشفشنای‌های نُوژن با پیروکلاستیک‌ها شروع می‌شود که به صورت چینه‌ای قرار می‌گیرند و شامل سنگ‌های داسیت، هورنبلن‌داسیت‌وئید با بیوتیت و اوژیت و آندزیت می‌باشند. این پیروکلاست‌ها در کنگلومرا و ماسه سنگ‌های

ساختماری ایران و نقشه زمین شناسی ناحیه‌ای شهر بابک در (شکل ۱) آورده شده است. واحدهای زمین شناسی موجود در این محدوده به شرح می‌باشند:



الف



ب

شکل ۱. (الف) نقشه زون‌های سنگ - ساختاری ایران. موقعیت نهشته پورفیری پرکام، نهشته عظیم سرچشم و شهر بابک بزرگ نمایی شده است. بخش هاشور خورده نوار سهند-بزمان را نشان می‌دهد (Berberian and King 1981) (modified after Berberian and King 1981).

(ب) نقشه زمین شناسی ناحیه‌ای شهر بابک (Saric et al. 1971).

## کرتاسه

از سری رخمنون‌های کرتاسه موجود در این برگه آمیزه‌های رنگی است که به صورت مجموعه سنگ‌های سریانیتیت تا گایرو در قسمت باختر نقشه رخمنون یافته است. این برون زدهای بسیار کوچک قدیمی‌ترین سنگ‌های موجود در منطقه هستند (شرکت مهندسین مشاور کان ایران، ۱۳۸۸).

مطابق با رابطه‌ی (۶) تعیین گردیده است که بر اساس آن دسته‌بندی‌های انجام شده مورد سنجش قرار می‌گیرد (یقینی و همکاران، ۱۳۸۷).

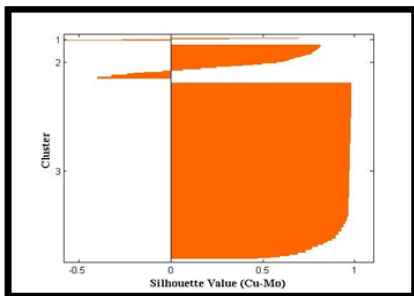
$$S(i) = \frac{\text{Min}(\text{AVEG\_BETWEEN}(i,k)) - \text{AVEG\_WITHIN}(i)}{\text{Max}[\text{AVEG\_WITHIN}(i), \text{Min}(\text{AVEG\_BETWEEN}(i,k))]} \quad (6)$$

در رابطه‌ی (۶)،  $S(i)$  بیان کننده‌ی میزان مطلوبیت نمونه‌ی  $i$  ام در کلاس مورد نظر خودش، پارامتر  $\text{AVEG\_WITHIN}(i)$  نشان‌دهنده‌ی میانگین فاصله‌ی نمونه‌ی  $i$  ام از سایر نمونه‌های دیگر در آن کلاسی است که خود نمونه‌ی  $i$  ام وجود دارد و پارامتر  $\text{AVEG\_BETWEEN}(i,k)$  بیان کننده‌ی میانگین فاصله‌ی نمونه‌ی  $i$  ام از سایر نمونه‌هایی می‌باشد که در دسته‌ی دیگری مانند  $K$  قرار دارند (یقینی و همکاران، ۱۳۸۷).

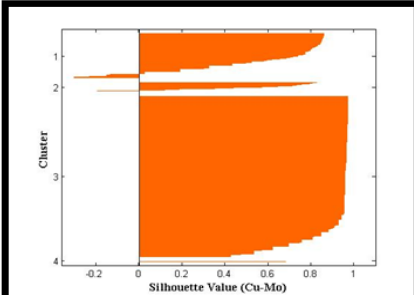
مطابق با رابطه‌ی (۶)، میزان مطلوبیت هر نمونه در یک کلاس مورد نظر می‌تواند بین (۱) تا (۱+) تغییر نماید. که عدد (۱-) بیان کننده‌ی این می‌باشد که نمونه‌ی مورد نظر در دسته‌بندی نامناسب قرار گرفته است. عدد صفر به این معنا می‌باشد که حضور نمونه‌ی مورد نظر در دسته‌ی فعلی و یا دسته‌ی دیگری دارای اهمیت چندانی نمی‌باشد و عدد (۱+) نیز بیان کننده‌ی دسته‌بندی مناسب است. بنابراین برای هر نمونه مقدار رابطه‌ی (۶) محاسبه می‌گردد و سپس با محاسبه‌ی میانگین اعداد حاصل شده تحت عنوان میانگین مطلوبیت دسته‌بندی انجام شده، به تحلیل نتایج پرداخته می‌شود.

### بررسی رفتار مس نسبت به مولیبدن

(شکل ۲) نیمرخ کلاس‌ها و میزان مطلوبیت هر نمونه را به ازای دسته‌بندی بهینه‌ی انجام شده با  $K=3$  و  $K=4$  در مورد مس و مولیبدن نشان می‌دهد.



دسته‌بندی با  $K=3$  با مقدار متوسط ۰/۸۴۳۷



دسته‌بندی با  $K=4$  با مقدار متوسط ۰/۸۲۱۸

شکل ۲. نیمرخ کلاس‌ها و مقادیر مطلوبیت برای دسته‌بندی با  $K=3$  و  $K=4$  مربوط به دو عنصر مس و مولیبدن.

آتشفشاری کوه مساحیم به صورت رخنمون‌های پراکنده مخروطی مشاهده می‌شوند. ب) کنگلومراها و ماسه‌سنگ‌های آتشفشاری که بر روی پیروکلاستیک‌ها قرار می‌گیرند و بخش‌های وسیعی را شامل می‌شوند. ج) هورنبلند آندزیت با ۲۰ متر ضخامت.

### نئوژن فوقانی

نئوژن فوقانی شامل سنگ‌های دگرسان شده، دیبوریت و کنگلومراها می‌باشد. بخش بزرگی از سنگ‌های دگرسان شده از آتشفشاری‌های کالدرا کوه مساحیم تشکیل شده است. کانی‌های سولفیدی همراه سنگ‌های دگرسان شده وجود دارند و سنگ‌های دگرسان ناحیه میدوک همراه با آتشفشاری‌های نئوژن به وجود آمده‌اند. واحدهای کنگلومراپی نئوژن فوقانی نیز در دو قسمت کوچک در باخته منطقه شهریابک مشاهده می‌شوند (شرکت پارس اولنگ، ۱۳۸۸).

### کواترنری

در بخش شمالی شهریابک دشت بزرگی از نهشته‌های کواترنری و پادگان‌ها تشکیل شده است و پوششی از ماسه سنگ و مخروط افکنه‌ها نیز مشاهده می‌شود که به ترتیب از قدیم به جدید عبارتند از (شرکت پارس اولنگ، ۱۳۸۸): (الف) دشت، مخروط‌های گراولی قدیمی (ب) دشت، مخروط‌های گراولی جدید (ج) دشت، آبرفت تازه (د) مخروط واریزه‌ای.

### روش مطالعه

در این تحقیق با استفاده از روش خوش بندی K-Means به حل یک مطالعه‌ی موردنی واقعی از گمانه‌های حفر شده در محدوده پرکام پرداخته شده است. در چند سال گذشته شرکت ملی مس اقدام به حفر چند حلقه گمانه در نقاط مختلف در محدوده پرکام کرده است که با نمونه‌برداری از نقاط مختلف و آنالیز آنها مقدار سه عنصر روی، سرب و مولیبدن را بر حسب ppm و مقدار دو عنصر آهن و مس را بر حسب درصد بیان نموده است (قناپور و هزارخانی، ۱۳۹۱). بررسی میزان تغییرات مقدار عناصر اندازه گیری شده در هر متر از هر گمانه می‌تواند دیدگاه بسیار مناسبی را پیش روی تصمیم گیران این صنعت ایجاد نماید. هر متر حفاری صورت گرفته در هر گمانه در عملیات اکتشاف و حفاری که در این پژوهش به عنوان یک بردار نمونه (X) در مجموعه حفاری‌های شرکت ملی مس که مشتمل از چند ده هزار متر حفاری در نظر گرفته شده است، به صورت یک برداری با شاخصه‌هایی نظیر مقدار عیار عنصر روی، عیار عنصر سرب، عیار عنصر مولیبدن، درصد اکسید آهن و درصد عنصر مس می‌باشد که تحلیل بر اساس هر کدام می‌تواند دیدگاه مناسبی را برای تصمیم‌گیری ایجاد نماید. به عنوان مثال کلاس‌بندی‌هایی که می‌تواند برای تصمیم گیران این صنعت مفید واقع شود، بصورت بررسی درصد عنصر مس با عیار عنصر روی، بررسی درصد عنصر مس با عیار عنصر مولیبدن، بررسی عیار عنصر مولیبدن با درصد اکسید آهن، بررسی درصد عنصر مس با عیار عنصر سرب می‌باشند.

در این قسمت به عنوان نمونه بررسی، درصد عنصر مس با عیار عنصر مولیبدن که دو عنصر اصلی و مهم در کانسایرها مس پورفیری به حساب می‌آیند و همچنین با عیار دو عنصر سرب و روی که عناصر بسیاری مهمی در تعیین وسعت و گسترش هاله‌های زمین شیمیابی اولیه محاسبه می‌شوند، برای خوش‌بندی جهت آنالیز و تحلیل رفتاری در نظر گرفته شده‌اند. در این پژوهش به منظور تعیین  $K$  مناسب جهت تعیین تعداد کلاس‌ها، تعداد دسته‌ها از  $K=3$  تا  $K=10$  تغییر داده شده است و گروه‌بندی‌های حاصل شده مورد تحلیل قرار گرفته‌اند. به منظور ارزیابی گروه‌های تعیین شده به ازای مقادیر مختلف  $K$ ، رابطه‌ی مطلوبیتی

عيار عنصر سرب در ابتدا با شدت زیادی کاهش یافته و سپس از  $16/0$  به بعد، با شدتی کمتر، افزایش می‌یابد. با توجه به این کاهش و افزایش، بهترین منحنی برازش شده به آن توسط نرم‌افزار MATLAB، منحنی درجه ۲ با تقریب مثبت می‌باشد. معادله منحنی مذکور به صورت

$$y = 10^6 x^2 - 431877x + 41741$$

و ضریب همبستگی آن برابر با  $R^2 = 0.951$  گزارش شده است.

#### بررسی رفتار مس نسبت به روی

در این قسمت نیز نمیرخ کلاس‌ها و میزان مطلوبیت هر نمونه را به ازای دسته‌بندی بهینه‌ی انجام شده برای مقادیر  $K=3$  الی  $K=10$  در مورد دو عنصر مس و روی در (شکل ۷) مشاهده می‌کنیم. در نتیجه بر اساس نتایج حاصل شده به ازای مقادیر متفاوت برای  $K$  از ۳ الی ۱۰، همانطور که مشاهده گردید، دسته‌بندی روی نمونه‌های تعریف شده با مشخصه‌های درصد عنصر مس و مقدار عیار روی به ازای  $K=3$  دارای بهترین دسته‌بندی می‌باشد. مراکز دسته‌های تعیین شده به ازای  $K=3$  به صورت (شکل ۸) می‌باشد و همچنین میزان مطلوبیت آن نیز که از سایر دسته‌بندی‌ها مناسب‌تر است. بر اساس این دسته‌بندی که در (شکل ۸) به وضوح مشخص می‌باشد در (شکل ۸) نمایش داده شده است. بر اساس این دسته‌بندی که در (شکل ۸) به وضوح مشخص می‌باشد، در گمانه‌های حفر شده توسط شرکت ملی مس در محدوده پرکام، به ازای افزایش عیار عنصر مس، عیار عنصر مولیبدن نیز افزایش می‌یابد و روند این افزایش به شکل نمایی می‌باشد، زیرا بهترین منحنی برازش شده به آن توسط نرم‌افزار MATLAB در حالت نمایی بوده است. معادله منحنی برازش شده به صورت  $y = 0.3544e^{24.179x}$  و ضریب همبستگی آن نیز برابر با  $R^2 = 0.9966$  گزارش شده است.

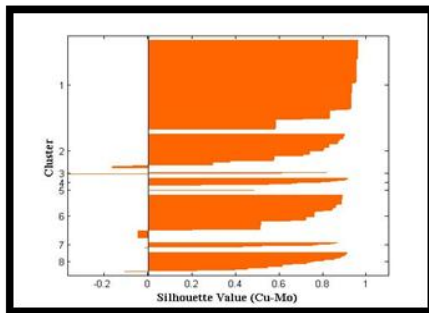
$$y = 2 \times 10^6 x^2 - 761065x + 67355$$

با ضریب همبستگی  $R^2 = 0.973$  می‌باشد.

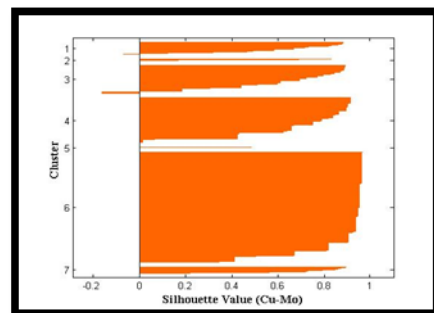
مطلوبیت با این شکل همانطور که مشاهده می‌شود، به ازای  $K=3$ ، دسته‌ی اول و دوم دارای مقادیر مناسبی می‌باشند و در دسته‌بندی انجام شده برای دسته‌ی دوم مقادیر منفی تقریباً کمی در آن دیده می‌شود. همچنین همانطور که در شکل نیز بیان گردیده است مقدار متوسط مطلوبیت در این دسته‌بندی برابر است با  $0.8437$ . به همین صورت (شکل ۲) (نمودار پایین) میزان مطلوبیت نمونه‌ها را به ازای  $K=4$  نشان می‌دهد و همانطور که مشاهده می‌شود مقادیر منفی نیز در این دسته‌بندی نیز دیده می‌شود. با توجه به شکل، مقدار میانگین مطلوبیت در دسته‌بندی با  $K=4$  برابر است  $0.8218$  که بیان کننده‌ی برتری دسته‌بندی نمونه‌ها با  $K=3$  نسبت به  $K=4$  می‌باشد. به همین صورت از آن در (شکل ۳) نشان داده است. در نتیجه بر اساس نتایج حاصل شده به ازای مقادیر متفاوت برای  $K$  از ۳ الی ۱۰، همانطور که مشاهده گردید، دسته‌بندی روی نمونه‌های تعریف شده با مشخصه‌های درصد عنصر مس و مقدار عیار مولیبدن به ازای  $K=3$  دارای بهترین دسته‌بندی می‌باشد. مراکز دسته‌های تعیین شده به ازای  $K=3$  به صورت شکل (۴) می‌باشد و همچنین میزان مطلوبیت آن نیز که از سایر دسته‌بندی‌ها مناسب‌تر می‌باشد در (شکل ۴) نمایش داده شده است. بر اساس این دسته‌بندی که در (شکل ۴) به وضوح مشخص می‌باشد، در گمانه‌های حفاری شده توسط شرکت ملی مس در محدوده پرکام، به ازای افزایش عیار عنصر مس، عیار عنصر مولیبدن نیز افزایش می‌یابد و روند این افزایش به شکل نمایی می‌باشد، زیرا بهترین منحنی برازش شده به آن توسط نرم‌افزار MATLAB در حالت نمایی بوده است. معادله منحنی برازش شده به صورت  $y = 0.3544e^{24.179x}$  و ضریب همبستگی آن نیز برابر با  $R^2 = 0.9966$  گزارش شده است.

#### بررسی رفتار مس نسبت به سرب

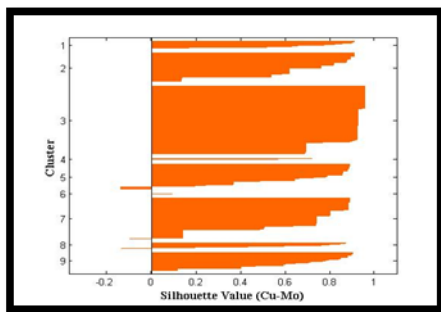
(شکل ۵) نمیرخ کلاس‌ها و میزان مطلوبیت هر نمونه را به ازای دسته‌بندی بهینه برای مقادیر  $K=3$  الی  $K=10$  در مورد مس و سرب نشان می‌دهد. در نتیجه بر اساس نتایج حاصل شده به ازای مقادیر متفاوت برای  $K$  از ۳ الی ۱۰، همانطور که مشاهده گردید، دسته‌بندی روی نمونه‌های تعریف شده با مشخصه‌های درصد عنصر مس و مقدار عیار سرب به ازای  $K=4$  دارای بهترین دسته‌بندی می‌باشد. مراکز دسته‌های تعیین شده به ازای  $K=4$  به صورت شکل (۶) می‌باشد. بر اساس این دسته‌بندی که در (شکل ۶) به وضوح مشخص می‌باشد، در گمانه‌های حفاری شده توسط شرکت ملی مس در محدوده پرکام، به ازای افزایش عیار عنصر مس، عیار عنصر مولیبدن نیز افزایش می‌یابد و روند این افزایش به شکل نمایی می‌باشد، زیرا بهترین منحنی برازش شده به آن توسط نرم‌افزار MATLAB در حالت نمایی بوده است. معادله منحنی برازش شده به صورت  $y = 0.3544e^{24.179x}$  و ضریب همبستگی آن نیز برابر با  $R^2 = 0.9966$  گزارش شده است.



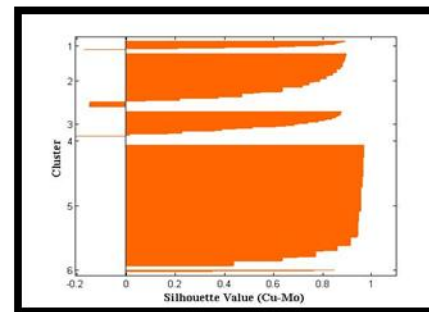
دسته‌بندی با  $K=8$  با مقدار متوسط ۰/۷۴۸۳



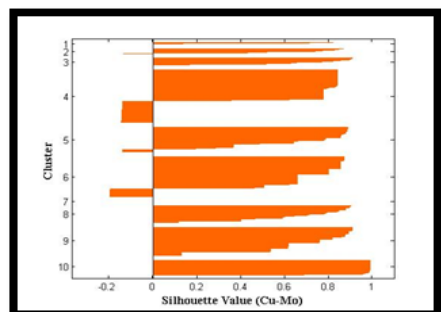
دسته‌بندی با  $K=5$  با مقدار متوسط ۰/۷۸۴۷



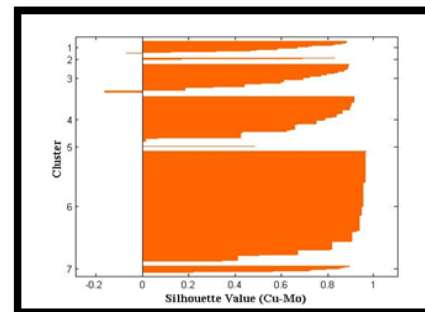
دسته‌بندی با  $K=9$  با مقدار متوسط ۰/۷۲۹۴



دسته‌بندی با  $K=6$  با مقدار متوسط ۰/۷۹۲۶

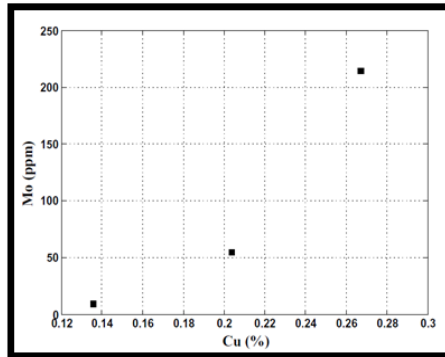


دسته‌بندی با  $K=10$  با مقدار متوسط ۰/۵۸۸۱

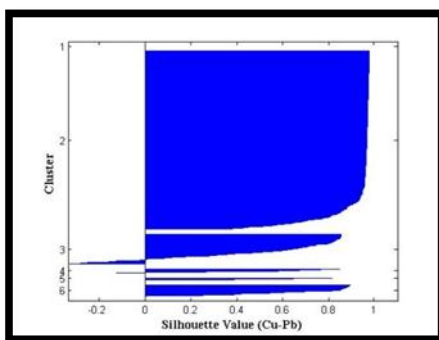


دسته‌بندی با  $K=7$  با مقدار متوسط ۰/۷۸۰۸

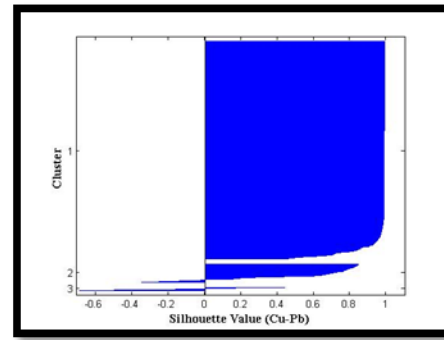
شکل ۳. نیمرخ کلاس‌ها و مقادیر مطلوبیت برای دسته‌بندی با  $K=5$  تا  $K=10$  مربوط به دو عنصر مس و مولیبدن.



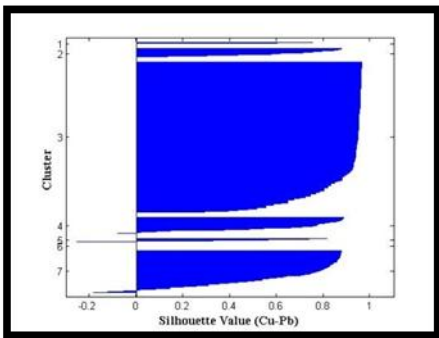
شکل ۴. نمایش مراکز دسته‌ها به ازای  $K=3$  در مورد دو عنصر مس و مولیبدن.



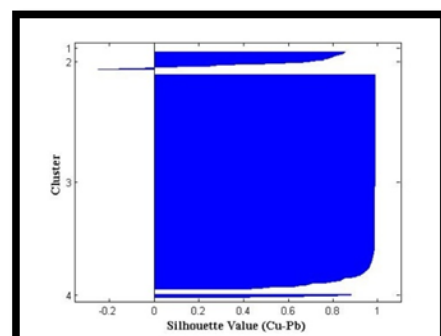
دسته‌بندی با  $K=6$  با مقدار متوسط ۰.۸۴۶۹



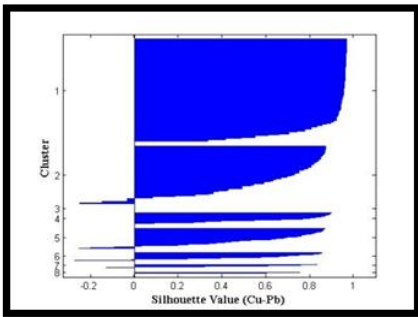
دسته‌بندی با  $K=3$  با مقدار متوسط ۰.۹۱۶۱



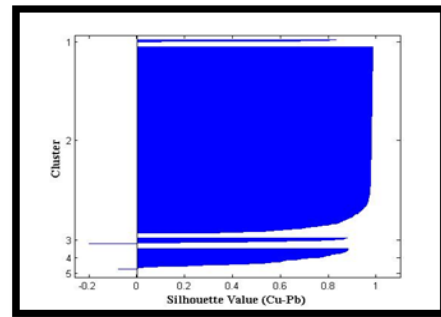
دسته‌بندی با  $K=7$  با مقدار متوسط ۰.۷۹۷۲



دسته‌بندی با  $K=4$  با مقدار متوسط ۰.۹۲۹۲

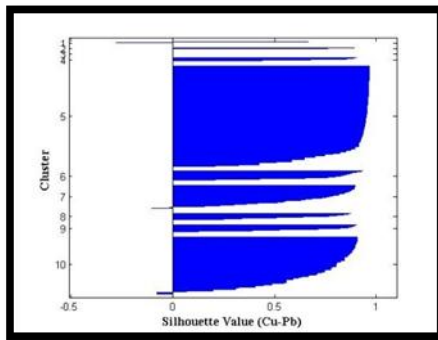


دسته‌بندی با  $K=8$  با مقدار متوسط ۰.۷۴۳۹

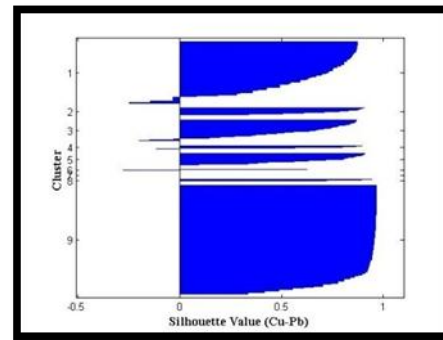


دسته‌بندی با  $K=5$  با مقدار متوسط ۰.۹۰۵۲

شکل ۵. نیمرخ کلاس‌ها و مقادیر مطلوبیت برای دسته‌بندی با  $K=3$  تا  $K=10$  مربوط به دو عنصر مس و سرب.

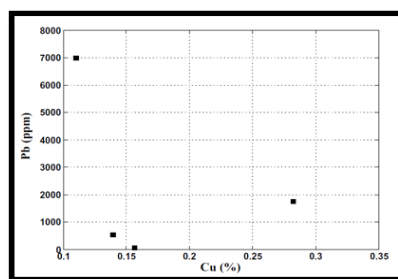


دسته‌بندی با مقدار متوسط ۰/۷۳۱۰  $K=10$

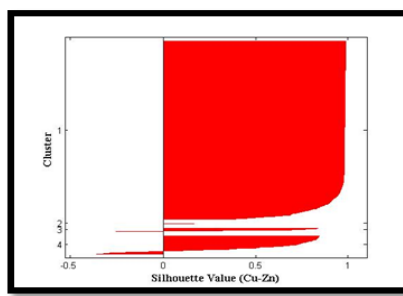


دسته‌بندی با مقدار متوسط ۰/۷۵۳۷  $K=9$

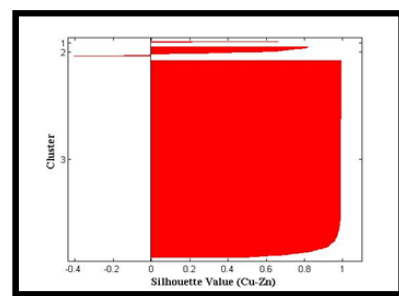
ادامه شکل ۵



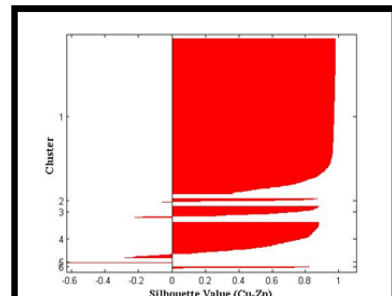
شکل ۶ نمایش مرکز دسته‌ها به ازای  $K=4$  در مورد دو عنصر مس و سرب.



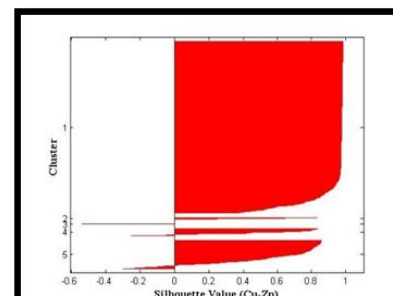
دسته‌بندی با مقدار متوسط ۰/۸۹۸۵  $K=4$



دسته‌بندی با مقدار متوسط ۰/۹۴۳۹  $K=3$

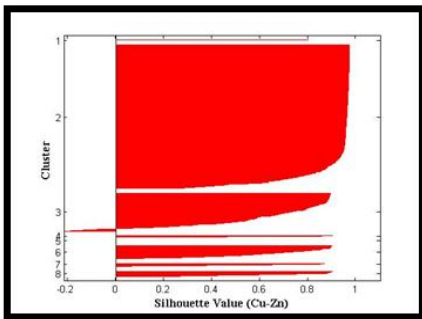


دسته‌بندی با مقدار متوسط ۰/۸۳۸۵  $K=6$

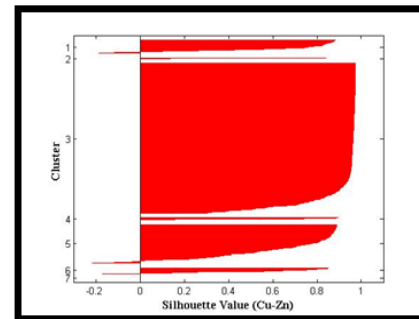


دسته‌بندی با مقدار متوسط ۰/۸۵۸۷  $K=5$

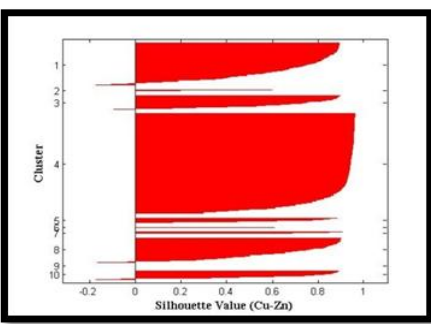
شکل ۷. نیمرخ کلاس‌ها و مقادیر مطلوبیت برای دسته‌بندی با  $K=3$  تا  $K=10$  مربوط به دو عنصر مس و روی.



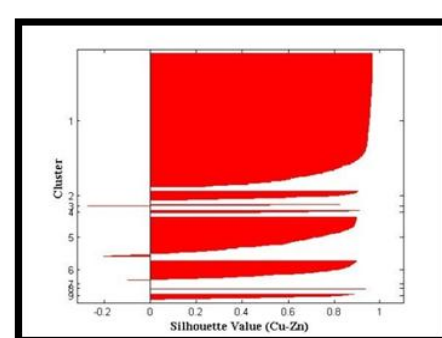
دسته‌بندی با  $K=8$  با مقدار متوسط ۰/۸۲۹۳



دسته‌بندی با  $K=7$  با مقدار متوسط ۰/۸۲۹۶

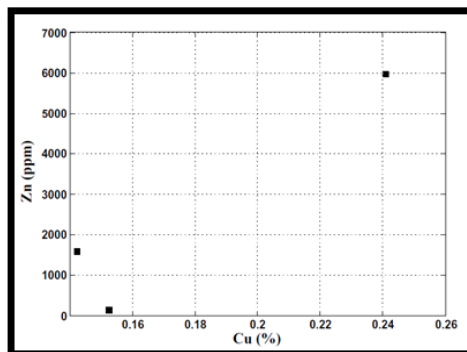


دسته‌بندی با  $K=10$  با مقدار متوسط ۰/۷۶۴۰



دسته‌بندی با  $K=9$  با مقدار متوسط ۰/۸۰۳۳

ادامه شکل ۷



شکل ۸ نمایش مراکز دسته‌ها به ازای  $K=3$  در مورد دو عنصر مس و روی.

## نتیجه‌گیری

همان‌طور که گفته شد با توجه به قرار گرفتن نواحی میدوک و پرکام در کمربند کرمان (به طول ۵۰۰ کیلومتر و حاوی ۳۵ کانسار پورفیری) و وجود منابع غنی مس در این منطقه، ضرورت یافتن اطلاعاتی در مورد ارتباط و چگونگی رفتار عناصر مس، مولیبدن، سرب و روی نسبت به یکدیگر در گمانه‌های خفاری شده در این محدوده برای پیداکردن و تعیین وسعت هاله‌های زمین شیمیایی کانسارهای مس پورفیری، تعیین امید بخش بودن منطقه و تخمین عیار اهمیت می‌یابد و می‌باشد مورد بررسی قرار گیرند. بدین منظور در تحقیق حاضر برای تعیین رفتار عناصر نام برد، با استفاده از روش معروف و کارآمد K-Means که یکی از روش‌های خوشبندی محاسبه می‌شود، به کلاس‌بندی داده‌های موجود از آنالیز حاصل از خفاری‌های انجام شده در محدوده پرداخته شد. یکی از مشکلات روش K-Means این می‌باشد که در مجموعه‌هایی با حجم اندیوه و با تعداد دسته‌ی بالا معمولاً با مشکل مواجه است و احتمال دارد که در دام نقاط بهینه‌ی محلی قرار گیرد، این موضوع با توجه به مقدار کم داده‌ها در این تحقیق، مشکلی به وجود نمی‌آورد. در روش مذکور، K تعداد کلاس‌ها می‌باشد که می‌باشد صحیح انتخاب شود و سپس کلاس‌بندی داده‌ها صورت پذیرد، لذا در تحقیق حاضر همچنین به منظور تعیین مقدار مناسب برای دسته‌ها (K) نیز که یکی دیگر از مشکلات روش K-Means به حساب می‌آید، معیار مناسبی تعریف گردید و با استفاده از آن به تحلیل نتایج پرداخته شد. و پس از تحلیل‌ها و بررسی‌های مختلف نتایج زیر حاصل گردیده است:

- در مورد مس و مولیبدن، برای مقادیر متفاوت K از ۳ تا ۱۰، خوشبندی با تعداد K=۳ نسبت به مابقی مناسب‌تر بوده و بهترین میزان مطلوبیت کلاس‌بندی در مورد مس و روی به کمک عیار معرفی شده، ۰/۹۴۳۹ به دست آمده است. -۶- با افزایش عیار عنصر مس در منطقه، عیار عنصر روی نیز به ظاهر در ابتدا کاهش و سپس افزایش می‌یابد. ولی این کاهش و افزایش همانند عنصر سرب مشخص و باز نیست. چرا که در مورد عنصر سرب این تصمیم گیری بر اساس ۴ کلاس بندی صورت گرفته و با وجود ۴ نقطه (به عنوان مرکز ۴ کلاس) و طرز قرارگیری آنها، این اظهار نظر (یعنی روند کاهش و سپس افزایش) شکل گرفته شده است. پس با توجه به تعداد کلاس‌ها و همچنین قرارگیری نامنظم آنها نسبت به یکدیگر، نمی‌توان عکس‌العمل مشخصی در مورد عنصر روی در برابر افزایش عنصر مس در نظر گرفت. شایان ذکر است یک منحنی به مرکز دسته‌ها در این حالت نیز برازش شده است تا در صورت کاهش و افزایش واقعی در مورد عنصر روی (نسبت به افزایش مس)، معادله آن در دسترس باشد. بهترین منحنی برازش شده، با توجه به روند کاهش و افزایش احتمالی، از نوع درجه ۲ با تغیر مثبت بوده و معادله آن به صورت  $y = 2 \times 10^6 x^2 + 67355$  با ضریب همبستگی  $R^2 = 0.973$  می‌باشد.

مرکز دسته‌ها نیز برابر با  $R^2 = 0.9966$  است.

## منابع

- حسنی پاک.ع.ا.، ۱۳۹۰، اصول اکتشافات ژئوشیمیایی، انتشارات دانشگاه تهران، تهران، چاپ هشتم شرکت پارس اولنگ، ۱۳۸۸، معرفی محدوده اکتشافی کانسار پرکام، گزارش کار. شرکت مهندسین مشاور کان ایران، ۱۳۸۸، مطالعات زمین شناسی و آلتراسیون محدوده پرکام در مقیاس ۰/۸۴۳۷ بدست آمده است. -۲- با افزایش عیار عنصر مس در منطقه، عیار عنصر مولیبدن نیز افزایش می‌یابد، روند این افزایش به صورت نمایی بوده و معادله منحنی برازش شده به آن به صورت  $y = 0.3544e^{24.179x}$  می‌باشد. ضریب همبستگی معادله برازش شده به
- 忿انی.ح.، ۱۳۷۴، زمین شناسی اقتصادی (کانسارها)، انتشارات دانشگاه تهران، تهران، چاپ چهارم. قنادپور.س.س، هزارخانی.ا.، ۱۳۹۰، بررسی و محاسبه پارامترهای اولیه زمین آماری عنصر مس از کانسار مس پورفیری پرکام در استان کرمان، دومین همایش صنایع معدنی. قنادپور.س.س، هزارخانی.ا.، ۱۳۹۱، محاسبه دقیق برخی از پارامترهای زمین آماری مس و مولیبدن در سیستم مس پورفیری پرکام - کرمان، فصلنامه زمین شناسی کاربردی پیشرفتی. (تحت داوری)

- قنادپور.س.ف، یقینی.م، خدمتلو.س، ۱۳۸۷، کلاس‌بندی به روش X-Means و مقایسه با روش K-Means با مطالعه موردی بر روی قطارهای مسافری شرکت رجاء، کنفرانس داده کاوی ایران، دانشگاه امیرکبیر (پلی تکنیک تهران). یقینی.م، قنادپور.س.ف، خدمتلو.س، ۱۳۸۷، ارائه یک روش ابتکاری خوشبندی در داده‌کاوی با استفاده از الگوریتم ژنتیک و حل یک مطالعه‌ی موردی واقعی در صنعت حمل و نقل ریلی، کنفرانس داده کاوی ایران، دانشگاه امیرکبیر (پلی تکنیک تهران).

Anderberg.M.R., 1973, Cluster Analysis for Application, Academic Press, New York.

Berberian.M., King.G.C., 1981, Towards a Paleogeography and Tectonic Evolution of Iran, Can. J. Earth Sci 18: 210–265.

Devijver.P.A., Kittler.J., 1982, Pattern Recognition: A Statistical Approach, Prentice-Hall International, Hemel Hemstead, Hertford Shire, UK.

Ghannadpour.S.S., Hezarkhani.A., 2012, Determine the initial statistical specifications of Copper and molybdenum elements in

- Porphyry Copper ore deposit in kerman, International Mining Congress & Expo.
- Jain.A.K., 2012, Data clustering: 50 years beyond K-Means, Elsevier, Pattern Recognition Letters, 31, 651-666.
- Krishna.K., Narasimha.M., 1999, Genetic K-Means Algorithm, IEEE Transations on Systems, MAN, and Cybernetics – Part B: Cybernetics, 29: 433-439.
- Leiluo.X., Xianwu.B., Ruizhong.H., Xingchun.Z., 2012, Relationships between porphyry Cu–Mo mineralization in the inshajiang–Red Rivermetallogenic belt and tectonic activity: Constraints from zircon U–Pb and molybdenite Re–Os geochronology, Elsevier, Ore Geology Reviews 48, 460–473.
- Menard.J.J., 1995, Relationship between altered pyroxene diorite and the magnetite mineralization in the Chilean Iron Belt, with emphasis on the El Algarrobo iron deposits (Atacama region, Chile), Springer-Verlag, Mineral. Deposita 30, 268-274.
- Meshkani.S.A., Mehrabi.B., Yaghoubpur.A., Alghalandis.Y.F., 2011, The application of geochemical pattern recognition to regional prospecting: A case study of the Sanandaj–Sirjan metallogenic zone, Iran, Elsevier, Journal of Geochemical Exploration, 108, 183-195.
- Mora.J.L., Armas-Herrera.C.M., Guerra.J.A., Rodríguez-Rodríguez.A., Arbelo.C.D., 2012, Factors affecting vegetation and soil recovery in the Mediterranean woodland of the Canary Islands (Spain), Elsevier, Journal of Arid Environments, 87, 58-66.
- Murthy.C.A., 1996, In Search of Optimal Clusters Using Genetic Algorithm, Pattern Recognition Letters, 17: 825-832.
- Nelson.P.A., Bellugi.D., Dietrich.W.E., 2012, Delineation of river bed-surface patches by clustering high-resolution spatial grain size data, Elsevier, Geomorphology.
- Peleg.D., Moore.A., 2000, Accelerating Exact K-Means Algorithm with Geometric Reasoning, (Technical report CMU-CS-00-105) Carnegie Mellon University, Pittsburgh, PA. Also available from <http://www.cs.cmu.edu/dpelleg/>.
- Saha.S., Bandyopadhyay.S., 2013, A generalized automatic clustering algorithm in a multiobjective framework, Elsevier, Applied Soft Computing, 13, 89-108.
- Saric.A., Diordjevic.M., Dimitrijevic.M.N., 1971, Geological map of Shahre-e-Babak, 1:100,000 Series. Geological Survey of Iran, Tehran, Iran.
- Sfidari.E., Kadkhodaie-Ilkhchi.A., Najjari.S., 2012, Comparison of intelligent and statistical clustering approaches to predicting total organic carbon using intelligent systems, Elsevier, Journal of Petroleum Science and Engineering, 86-87, 190-205.
- Tarkian.M., Stribny.B., 1999, Platinum-group elements in porphyry copper deposits: a reconnaissance study, Springer-Verlag, Mineralogy and Petrology 65, 161-183.
- Wegner.T., Hussein.T., Hämeri.K., Vesala.T., Kulmala.M., Weber.S. 2012, Properties of aerosol signature size distributions in the urban environment as derived by cluster analysis, Elsevier, Atmospheric Environment, 61, 350-360.
- Yang.J., Zhuang.Y., Wu.F., 2012, ESVC-based extraction and segmentation of texture features, Elsevier, Computers & Geosciences, 49, 238-247.
- Yi.X., Zhang.Y., 2013, Equally contributoryprivacy-preserving K-Means clustering over verticallypartitioneddata, Elsevier, Information Systems, 38, 97-107.